

に示す。部材降伏後も耐力が低下することなく、じん性を有している。またジベルピッチが140mmのものも同様の挙動を示し、たわみの差はほとんどなかった。(表-3)

③各試験体のひびわれ状況を、図-6に示す。どちらも曲げ破壊であり、載荷点直下及びSRC-RC境界部でひびわれが集中しており、両者のひびわれ性状に差はなかった。

表-3 試験体のたわみ (単位: mm)

荷重	δ4	δ5	δ6	
ピッチ110mm	P=10tf	3.76	3.47	3.22
	P=20tf	11.98	11.09	10.50
	P=30tf	173.97	173.93	164.11
ピッチ140mm	P=10tf	3.70	3.55	3.36
	P=20tf	11.37	10.76	10.19
	P=30tf	217.43	221.28	214.51

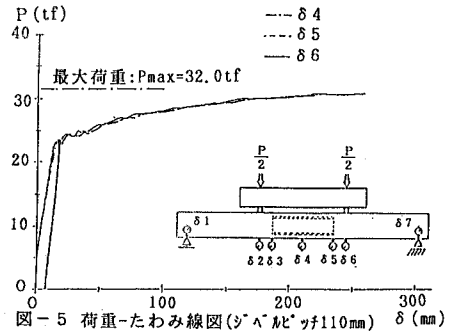


図-5 荷重-たわみ線図(ジベルピッチ110mm)

④鉄骨部長手直角方向のジベルの応力分担を、表-4に示す。端部のジベルJ8に比べて内側のジベルJ4が受け持つ応力が、約2倍あった。

⑤図-7及び図-8に、主鉄筋F1に1800kgf/cm²の応力度が作用した時、主鉄筋F1が降伏した時、及び試験体破壊時の、主鉄筋、鉄骨部長手方向のジベルの応力発生状況を示す。継手部縁端のジベルJ2が最も作用応力が高く、継手部から離れるにつれて小さい値になった。主鉄筋降伏時の、ジベルJ2の作用応力度は、ジベルの降伏点に対し、ジベルピッチ110mmは83%、ジベルピッチ140mmは96%を示す。

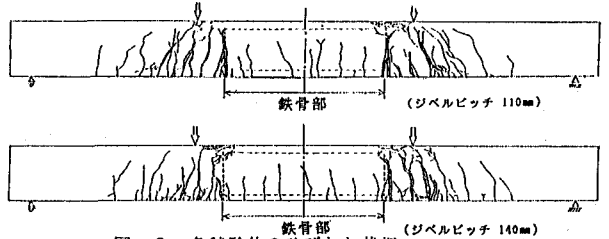


図-6 各試験体のひびわれ状況

表-4 ジベルに作用する応力度(単位: kgf/cm²)

荷重	J4	J8	
ピッチ110mm	P=10tf	412	250
	P=20tf	628	441
	P=30tf	1724	932
ピッチ140mm	P=10tf	624	197
	P=20tf	918	309
	P=30tf	2213	706

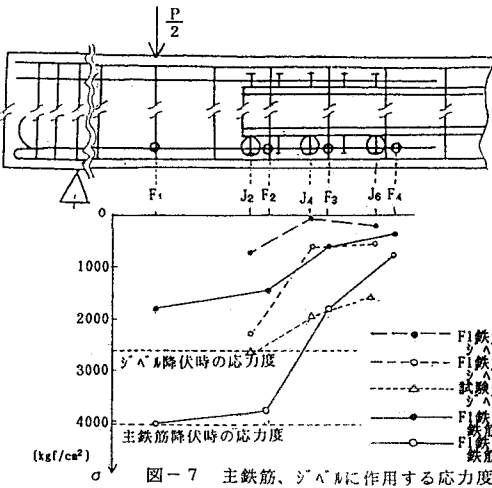


図-7 主鉄筋、ジベルに作用する応力度 (ジベルピッチ110mm)

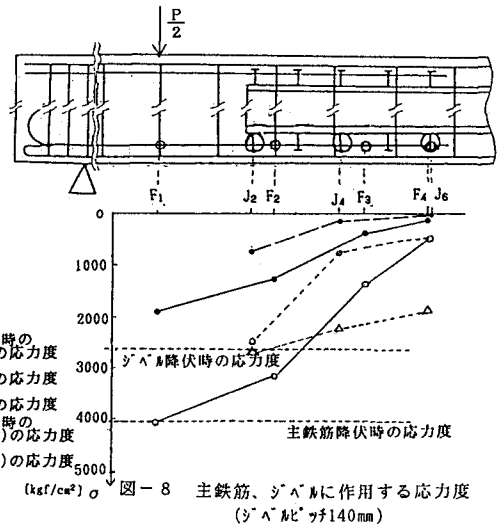


図-8 主鉄筋、ジベルに作用する応力度 (ジベルピッチ140mm)

4. おわりに

今回の曲げ強度試験では以上のような結果が得られたが、今後は、この実験結果に加えて、せん断試験、疲労試験及び詳細な解析を行い、実設計への適用を検討していきたい。

参考文献: 阿部、中島「合成構造の添接継手の試験-異形鉄筋とスタッドによる-」

昭61.9 合成構造の活用に関するシンポジウム講演論文集